

T. C.  
CUMHURİYET ÜNİVERSİTESİ  
FEN BİLİMLERİ ENSTİTÜSÜ  
KİMYA ANABİLİM DALI

BAZı MOLİBDEN KARBONİL TÜREVLERİNİN  
SENTEZİ VE STEREOKİMYASI

YÜKSEK LİSANS TEZİ

Halis MARŞAN

ŞUBAT — 1988  
SİVAS

T. C.  
Tükseköğretim Kurulu  
Dokümantasyon Merkezi

## TEŞEKKÜR

Tez konusunun seciminden sonuclandırılmasına dečin değerli öneri ve katkıları için, Anorganik kimya anabilim dalı başkanı sayın Yrd.Doc.Dr.Cemal KAYA'va teşekkür ederim.

Sentezlediğimiz maddelerin analizlerinin yapılmasında yardımalarını esirgemeyen TÜBİTAK Marmara Bilimsel ve Endüstriyel Araştırma Enstitüsünden sayın Dr. Vefa AHSEN'e, Ortadoğu Teknik Üniversitesi Kimya Bölümünden sayın Dr.Hüseyin AL'a , sayın Arş.Gör.Talat YALÇIN'a ve sayın Arş.Gör.Hasan GÜL'e teşekkür ederim.

Çalışmalarımda yardımalarını esirgemeyen Cumhuriyet Üniversitesi Fen-Edebiyat Fakültesi Kimya Bölümüne ve tüm personeline teşekkür ederim.

Tezimi yazan sayın Halit YILDIZ'a teşekkür ederim.

H.MARŞAN

## ÖZET

VIB Grubu metal karbonillerin fotokimyasal yerdeğiştirme reaksiyonlarında ilk araürün, metal karbonilden bir karbonilin ayrılması ile oluşan kare pramidal yapıdaki  $M(CO)_5$  dir. Ortarda uygun ligandların bulunması durumunda, oldukça reaktif olan bu araürün üzerinden çeşitli metal karbonil türevleri oluşmaktadır. Metal karbonil türevinin stereokimyası, reaksiyon koşullarına, ligand ve çözücüün türüne önemli ölçüde bağlıdır. Bu çalışmada molibdenhekzakarbonilin asetonitril, izopren ve asetik asid gibi ligandlarla fotokimyasal yerdeğiştirme reaksiyonuna oluşan ürünlerin yapıları ve stereokimyası incelenmiştir.

Metal karbonil türevlerinin ve özellikle fotokimyasal yerdeğiştirme reaksiyonunda oluşan ilk araürünün suya ve oksijene karşı duyarlı olması nedeniyle, kullanılan ligandlar ve çözüçülerin saflaştırma işlemleri ve reaksiyon sürekli inert azot atmosferi altında yapılmıştır. n-Hekzan içerisinde çözünmüş molibdenhekzakarbonil adı geçen ligandlarla birlikte oda sıcaklığında üçbuçuk saat ultraviyole lambası ile ışınlanmıştır. Elde edilen komplekslerin yapıları ve stereokimyası, elementel analiz ve infrared spektroskopisi bulgularından yararlanılarak ziydileştirilmiştir.

Molibdenhekzakarbonil ile asetonitrilin reaksiyonunda  $Mo(CO)_5(NCCH_3)$  ve cis- $Mo(CO)_4(NCCH_3)_2$  komplekslerinden ibaret bir karışım elde edilmiştir. Molibden-

hekzakarbonil in izopren ve asetik asid ile reaksiyonunda ise sırası ile cis-Mo(CO)<sub>2</sub>(izopren)<sub>2</sub> ve Mo<sub>2</sub>(CH<sub>3</sub>COO)<sub>4</sub> komplekslerinin -jeliştiği saptanmıştır. cis-Mo(CO)<sub>2</sub>(izopren)<sub>2</sub> kompleksinin oluşumunda şelat etkinin, karbonilden daha zayıf bir  $\pi$ -bağ vericisi olan izoprenin kendisi ile trans konumdaki karbonil grubunun reaktivitesi üzerindeki etkisinden daha baskın olduğu savuna varılmıştır.

Sentezlenen komplekslerin nem çekici oldukları ve zamanla yapısal bozulmaya uğrayarak molibden mavisine dönüştükleri belirlenmiştir.

## SUMMARY

In the photochemical reactions of group VIB metal carbonyls, the first intermediate formed by leaving a carbonyl group from the metal carbonyl is  $M(CO)_5$  which has a square pyramidal structure. In the presence of appropriate ligands in the reaction medium, the reactive  $M(CO)_5$  react with these ligands to give various metal carbonyl derivatives. Stereochemistry and structures of metal carbonyl derivatives depends on reaction conditions, ligand and solvent. In this research, stereochemistry and structures of the products formed in the photochemical substitution reaction of hexacarbonylmolybdenum with acetonitrile, isoprene and acetic acid were studied.

Metal carbonyl derivatives and especially the first intermediate are sensitive to water and oxygen. For this reason, the purification of ligands and solvent, and the reactions were carried out nitrogen atmosphere. A mixture of hexacarbonylmolybdenum and the ligands in hexane was irradiated by ultraviolet lamp for three and half hours. The stereochemistry and structures of complexes were investigated by means of elemental analysis and infrared spectroscopy.

In the reaction of hexacarbonylmolybdenum with acetonitrile, a mixture which consist of  $Mo(CO)_5(NCCH_3)$  and  $cis-Mo(CO)_4(NCCH_3)_2$  was obtained. It was determined that the reaction of hexacarbonylmolybdenum with isoprene

and acetic acid gives respectively cis-Mo(CO)<sub>2</sub>(isoprene)<sub>2</sub> and Mo<sub>2</sub>(CH<sub>3</sub>COO)<sub>4</sub>. In the formation of cis- Mo(CO)<sub>2</sub>(isoprene)<sub>2</sub> complex, it was concluded that the chelate effect is predominant than the effect of isoprene, which is a  $\pi$ -donor weaker than carbonyl group, on the reactivity of the carbonyl groups trans to isoprene.

All the complexes synthesized adsorb water and are not stable in air. These complexes are converted to the molybdenum blue in a short time.

## İÇİNDEKİLER

TEŞEKKÜR

ÖZET

SUMMARY

İÇİNDEKİLER

I. GİRİŞ	1
I.2. Amaç	2
I.3. Geçiş Metal Karboniller ve Bileşikleri	3
II. METAL LİGAND BAĞLANMASI	9
II.1. Metal Karbonil Bağlanması	9
II.2. Metal Olefin Bağlanması	13
II.3. Metal Dien Bağlanması	14
III. METAL KARBONİLLER ve İNFRARED SPEKTRÜMLARI	17
IV. DENEYSEL KISIM	21
IV.1. Temel Teknikler	21
IV.2. Ligandların Saflaştırılması	21
IV.2.1. Asetonitrilin Saflaştırılması	21
IV.2.2. İzoprenin Saflaştırılması	21
IV.2.3. Asetik Asidin Saflaştırılması	21
IV.2.4. Hekzanın Saflaştırılması	22
IV.3. $\text{Mo}(\text{CO})_5(\text{NCCH}_3)_2$ ve $\text{cis-Mo}(\text{CO})_4(\text{NCCH}_3)_2$	22
Bileşiklerinin Sentezi	
IV.3.2. $\text{cis-Mo}(\text{CO})_2(\text{izopren})_2$ Kompleksinin Sentezi	23
IV.3.3. $\text{Mo}_2(\text{CH}_3\text{COO})_4$ Kompleksinin Sentezi	23
V. PULGULAR VE TARTIŞMA	24
V.1. Molibden Karbonil Asetonitril Türevleri	24
V.2. $\text{cis-Mo}(\text{CO})_2(\text{izopren})_2$ Kompleksi	29

V.3.  $\text{Mo}_2(\text{CH}_3\text{COO})_4$  Kompleksi 31

Sonuç 34

Kaynaklar 35

## I- GİRİŞ

Koordinasyon kimyası, geçiş elementlerinin kimyası ile ilgilenen anorganik kimyanın bir dalı olarak tanımlanabilir. Geçiş elementleri, d ve f orbitalleri kısmen dolu olan elementlerdir. Bu tanım, herhangi bir yükseltgenme basamağında bakır, altın ve gümüş elementlerini de içerir.

Geçiş elementleri, ligandlarla koordinasyon bileşikleri oluştururlar. Koordinasyon bileşikleri, günümüz anorganik kimya araştırmalarının geniş bir kısmını oluştururlar. Son yıllarda anorganik kimyada yayınlanan yayınların % 70'i koordinasyon kimyası ile ilgidir.

Koordinasyon bileşikleri ile ilgili ilk çağdaş çalışma, Alfred Werner ve Sophus Mads Jorgens adlı iki bilim adamı ile başlamıştır(1). Bu bilim adamları, koordinasyon sayısı dörtten büyük olan komplekslerin yapılarını aydınlatmaya çalışmışlardır.

Hernekadar ilk organometalik bileşik olan  $K[Pt(C_2H_4)Cl_3]$ , potasyumtetrakloroplatin (II) ile etilenin reaksiyonundan 1927 yılında Zeise tarafından sentezlenmişse de, organometalik kimyanın farklı bir bilim alanı olarak ortaya çıkışının geçmişi otuzbeş yıldan fazla degildir(2,3). Organometalik bileşiklerin kimyası ile ilgili ilk önemli bilgiler, 1951 yılında sentezlenen ferrosenin üzerinde yapılan çalışmalarдан elde edilmiştir(4,5).

T. C.

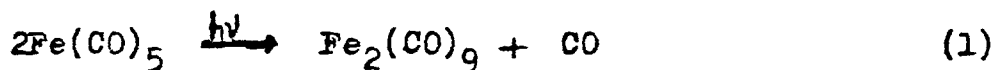
Tekniköğretim Kurulu

izole edilebilen başka organometalik bileşiklerin de sentezlenebileceği düşünüldü. Aslında ferrosenin sentezlenmesinden önce de geçiş elementleri, organik reaksiyonlarda endüstriyel amaçlarla kullanılıyor ve çok az miktarda organometalik bileşiğin aratırın olarak oluşturduğu biliniyordu.

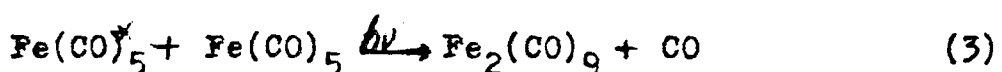
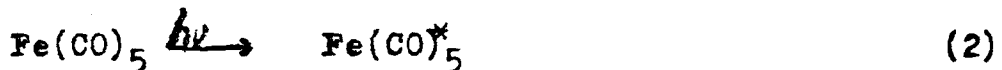
### I. 2. Amaç:

Metal karboniller ve türevlerinin, başka organometalik bileşiklerin sentezinde başlangıç maddesi, organik reaksiyonlarda ise katalizör olarak kullanılmalarından dolayı kimyada oldukça yaygın bir kullanım alanına sahiptirler. VIB Grubu metal karboniller ile organik ve anorganik ligandlar farklı yöntemlerle reaksiyona sokularak bir çok metal karbonil türevi sentezlenmiştir(6,7).

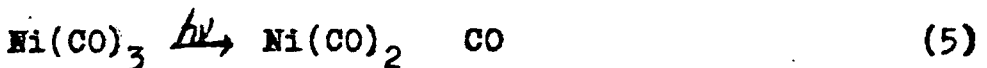
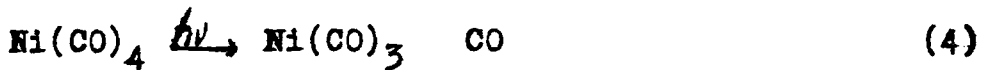
Metal karbonil türevlerinin sentezlenmesinde fotokimyasal yöntem oldukça yaygın bir şekilde kullanılmaktadır. Fotokimyasal reaksiyonların bilinen ilk klasik örneği, reaksiyon (1) de verilmektedir(8).



Bu reaksiyonun mekanizmasının aşağıdaki ara basamaklardanoluştugu kabül edilmektedir.



$\text{Ni}(\text{CO})_4$  Işınlandığında parçalanma aşağıdaki reaksiyon basamaklarından oluşur(8).



Strachmeir ve çalışma arkadaşları  $\text{M}(\text{CO})_6$  ( $\text{M:Cr,Mo}$  ve  $\text{W}$ ) ve  $\text{C}_5\text{H}_5\text{Mn}(\text{CO})_3$  ile değişik nükleofilleri reaksiyona sokarak, çeşitli metal karbonil türevleri sentezlemişlerdir(8). Bu çalışmalar sonunda  $\text{M}(\text{CO})_6$  ışınlandığında oluşan ilk araürün, çözücü ve yerdeğiştirici liganda bağlı olmadığı anlaşılmıştır.

VIB Grubu metal karbonillerinin fotokimyasal yerdeğiştirme reaksiyonlarında ilk araürün metal karbonilden bir karbonilin ayrılmasıyla oluşan kare pramidal yapıdaki  $\text{M}(\text{CO})_5$  dir. Ortamda uygun ligandların bulunması durumunda, oldukça reaktif olan  $\text{M}(\text{CO})_5$  üzerinden çeşitli metal karbonil türevleri oluşmaktadır.

Bu çalışmada, VIB grubu metal karbonillerinden molibdenhekzakarbonil, izopren, asetonitril ve asetik asit gibi ligandlarla fotokimyasal yöntemle reaksiyona sokularak molibdenkarbonil türevlerinin sentezlenmesi ve sentezlenen bileşiklerin yapılarının aydınlatılması amaçlanmıştır.

### I.3. Geçiş Metal Karboniller ve Bileşikleri

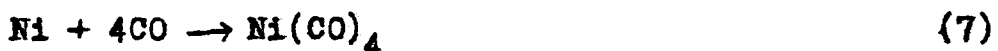
Karbon monoksit tek dişli bir liganddır. Metaller-

le birleşerek metal karbonilleri oluşturur. Metal karboniller, katalitik etkilerinden dolayı önemli kimyasal maddeleredir. İlk metal karbonil olan  $\text{Ni}(\text{CO})_4$ , 1890 yılında sentezlendi(9). Daha sonra 1891 yılında Mond ve Berthelat tarafından  $\text{Fe}(\text{CO})_5$  sentezlendi(10,11,12). Metal karbonil ve türevleri üzerinde yapılan çalışmalardan, metal karbonillerin belirli özelliklere sahip oldukları saptandı(13).

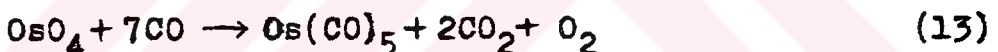
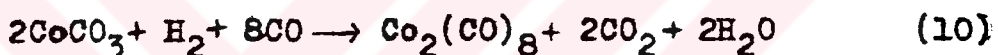
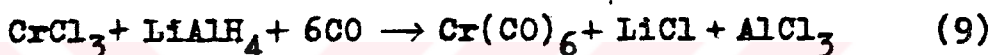
Metal karbonillerin fiziksel, kimyasal ve yapısal özellikleri gözönüne alındığında, geçiş metal karboniller önem kazanmaktadır. Genel olarak bilinen altı koordinasyonlu metal karboniller  $\text{M}(\text{CO})_6$  ( $\text{M:Cr, Mo ve W}$ ), metalhekzakarbonillerdir. Hekzakarbonilmolibden(0), 1910 yılında Mond tarafından sentezlendi(14). Daha sonra hekzakarbonilkrom(0) ve hekzakarbonilwolfram(0) Jop ve çalışma arkadaşları tarafından izole edildi(15,16). Bu metal karboniller, son yıllarda endüstriyel amaçlarla yüksek verimle sentezlenmektedir. VIB grubu metal karboniller, beyaz, havada kararlı, diamagnetik kristaller olup, organik sentezlerde katalizör olarak kullanılmaktadırlar. Bu bileşikler uçucu olduklarından dolayı kolayca sublimleşirler. Bazı metal karboniller ve özelliklerini çizelge-I.l. de verilmiştir.

Basit metal karbonillerinin hazırlanmasında başlıca iki yöntem kullanılır(17).

1- Karbon monoksit ile metalin direk reaksiyonu:  
Metalin karbon monoksit ile doğrudan reaksiyonundan metal karbonil elde edilir.



2- Karbonille yerek indirgeme: Metalin bir tuzu alkali metal veya  $\text{H}_2$  ile indirgenerek metal karbonil elde edilir.



Bu yöntemlerle birçok metal karbonil elde edilir. Anorganik kimya, reaksiyon mekanizmaları yönünden organik kimya kadar ileri bir düzeye ulaşmamıştır. Anorganik kimya reaksiyon mekanizmaları ile ilgili veriler son otuzbeş yıldan beri yayınlanmaktadır. Organometaller kimyası konusuna ilgimin artması, reaksiyon mekanizmlarının önemini artırmış ve organik kimya ile anorganik kimya arasındaki kesin sınırın yumuşamasına neden olmuştur.

**Çizelge-I.l. Bazı Metal Karbonillerin Yapıları ve  
Özellikleri(18).**

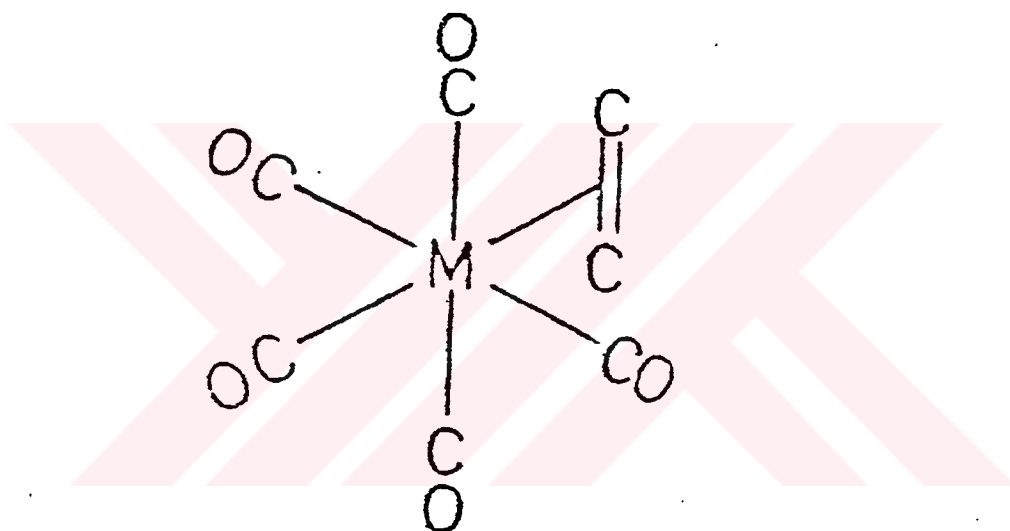
<u>Bileşik</u>	<u>Renk</u>	<u>Simetri Nok-</u>	<u>IRV(CO)cm<sup>-1</sup></u>
<u>Bileşik</u>	<u>Renk</u>	<u>ta Grubu</u>	<u>IRV(CO)cm<sup>-1</sup></u>
V(CO) <sub>6</sub>	Koyu Gri	O <sub>h</sub>	1976
Cr(CO) <sub>6</sub>	Beyaz	O <sub>h</sub>	2000
Mo(CO) <sub>6</sub>	Beyaz	O <sub>h</sub>	2004
W(CO) <sub>6</sub>	Beyaz	O <sub>h</sub>	1998
Mn <sub>2</sub> (CO) <sub>10</sub>	Altın Sarısı	D <sub>4d</sub>	2044 2013 1983
Tc <sub>2</sub> (CO) <sub>10</sub>	Beyaz	D <sub>4d</sub>	2065 2017 1984
Re <sub>2</sub> (CO) <sub>10</sub>	Beyaz	D <sub>4d</sub>	2070 2014 1976
Fe(CO) <sub>5</sub>	Sarı	D <sub>5h</sub>	2034 2012
Ru(CO) <sub>5</sub>	Renksiz	D <sub>5h</sub>	2013 1999
Os(CO) <sub>5</sub>	Renksiz	D <sub>5h</sub>	2034 1991
Fe <sub>2</sub> (CO) <sub>9</sub>	Altın Sarısı	D <sub>3h</sub>	2082 2019 1829
Ni(CO) <sub>4</sub>	Renksiz	T <sub>d</sub>	2057
Co <sub>2</sub> (CO) <sub>8</sub>	Portakal Rengi	C <sub>2v</sub> (katı)	Çok yayvan
		D <sub>3d</sub> (sıvı)	Çok yayvan

Organik geçiş metal kimyasında en çok karşılaşılan ligandlara olefin, diolefİN ve karbon monoksit gibi metal-karbon bağı yapan ligandlar örnek verilebilir.

Karbonil olefin metal kompleksi ilk defa iki farklı yöntemle sentezlendi. Reihlen ve çalışma arkadaşıları 140°C'de bir bomba içinde 1,3-butadien ile pentakarbonildemir(0), reaksiyona sokularak, trikarbonil( $\eta^2$ -dien) demir(0) kompleksini sentezlediler(19). Aynı yolla farklı dialefinler, pentakarbonildemir (0) ile reaksiyona sokularak, trikarbonildiemir (0) kompleksleri sentezlendi. Trikarbonildiemir (0) komplekslerinin hazırlanmasında kullanılan diolefinlere, 1,3-siklohekzadien(20), 1,3-sikloheptadien(21), 1,3-pentadien(22), bisiklo [2.2.1.]hepta 2,5-dien(23), bisiklo [5.1.0.]okta 2,4-dien(24) ve 2-metil 1,3-butadien(25) örnek verilebilir. Yukarıda adı geçen dienler kullanılarak VIB grubu metal karbonillerinde çeşitli kompleksleri sentezlenmiştir.

Karbonil monoolefin metal kompleksleri belirli stereokimyasal özelliklere sahiptirler. Karbonil olefin metal komplekslerinin dinamik davranışları ile ilgili ilk çalışma 1964 yılında Cramer tarafından  $\text{Rh}(\text{CO})_3(\text{C}_5\text{H}_5)(\text{C}_2\text{H}_4)$  kompleksi üzerinde yapılmıştır(26, 27). Siklookten ile hekzakarbonilkrom(0), fotokimyasal yolla reaksiyona sokularak, pentakarbonil( $\eta^2$ -siklookten) krom(0) sentezlenmiş ve n-pentan içerisinde düşük ligand mobilitesine sahip olduğu bulunmuştur(28).

Dinamik nükleer mağnetik rezonans spektroskopisi çalışmalarından olefin ligandının, metal-olefin bağ ekseninin etrafında döndüğü saptanmıştır(29). Düşük sıcaklıklarda ise olefindeki karbon-karbon çift bağının, molekülün ana eksenine paralel olarak yönelmeyi tercih ettiği gözlenmiştir(30,31). Bu, şekil.I.2 de görülmektedir.



Şekil. I.1 Etilenin metal karbonile bağlanması(30, 31).

Konjuge dien kompleksleri ise daha düşük ligand mobilitesine sahiptirler(32). Konjuge olmayan diolefinitler, metale birbirinden ayrı çift bağ ile bağlandığından bunların kompleksleri, mono ve konjuge diolefinlerden farklı özellikler gösterirler(33).

Metal karbonillerin konjuge dienlerle termal reaksiyonlarında, konjuge dien metal kompleksleri sentezlenmektedir. Ancak konjuge olmayan diolefinlerin kul-

lanıldığı reaksiyonlarda ise diolefiner, tekrar düzenlenerek konjugeli olefinlere dönüşür ve konjugeli dien metal kompleksi elde edilir. 1,5- siklooctadien, pentakarbonildemir(0) ile kaynatıldığında, 1,3- siklooctadiene dönüşür. Bu reaksiyon koşullarında beklenen, trikarbonil(1,5- siklooctadien)demir (0) kompleksinin oluşturduğu gözlenmiştir(34). 1,5- siklooctadien, pentakarbonildemir(0) ile güneş ışığında ışınlandığında, trikarbonil(1,3- siklooctadien)demir(0) kompleksini oluşturuğu ve termal olarak kararsız olduğu gözlenmiştir(35). Bu kararsızlık,  $sp^2$  hibriti yapan dört karbon atomu aynı düzlemede olduğundan, 1,3- siklooctadien halkasında yapışal gerilmenin olmasına bağlanmaktadır. Bu nedenle konjugeli olmayan dien komplekselerinin ısisal olarak sentezlenemeyeceği kabül edilmiştir(36).

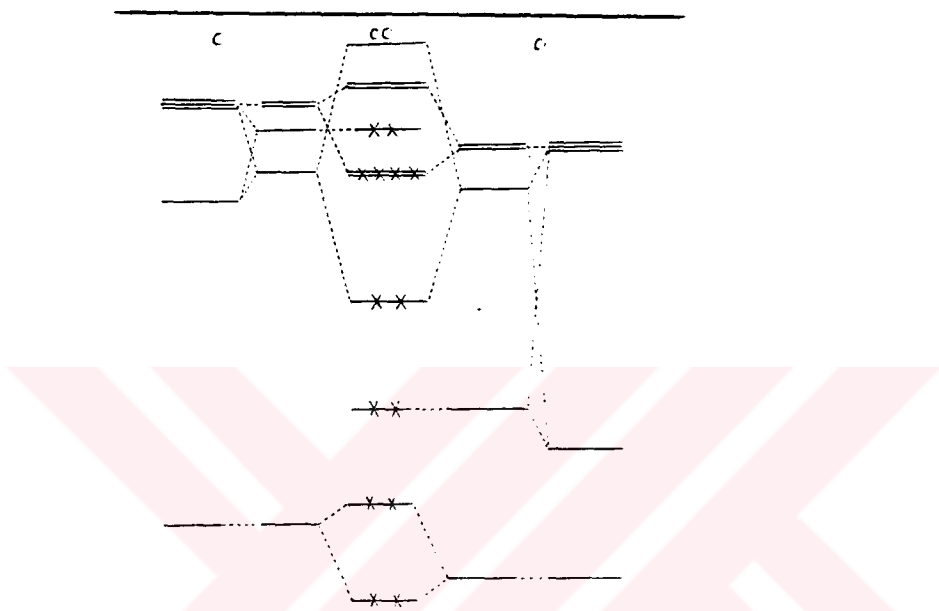
## III- METAL LİGAND BAĞLANMASI

### III.1. Metal Karbonil Bağlanması

Organometalik kimyada çok karşılaşılan ligand tiplerinden birisi, metallerle bileşik yapan ve bileşikleri, metal karbonil olarak bilinen karbon monoksittir. Metal karboniller genellikle 18- elektron kuramına uyan bileşiklerdir. Karbonil bir üç grup olması durumunda, metal-karbo<sub>n</sub> monoksit bağı doğrusaldır.

Karbon monoksit, karbon ve oksijen arasında lokalize olmuş iki dolu  $\pi$ -ve birtane dolu  $\sigma$ -moleküler orbitaline sahiptir. Ayrıca karbon ve oksijen atomları ize-

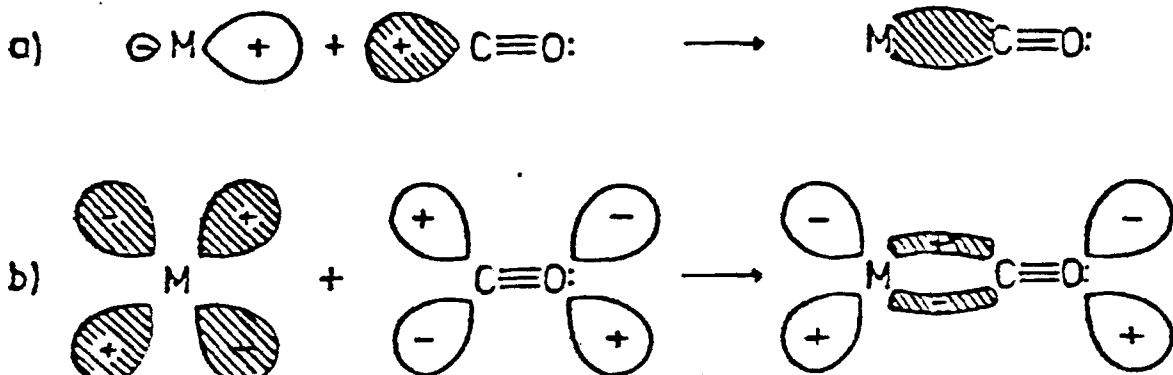
rinde bağ yapmamış elektron çiftleri vardır. Karbon monoksit, metale karbon ucundan bağlanır. Karbon monoksidin metale karbon ucundan bağlanması moleküler orbital enerji diagramı ile açıklanabilir (Şekil. II.1.1).



Şekil. II.1.1. Karbon monoksidin moleküler orbital enerji diagramı.

Şekil. II.1.1 de görüldüğü gibi karbonun bağ yapmayan hibrit orbitali en yüksek enerjili orbitalıdır. Karbon monoksit, karbon üzerinde bağa girmemiş hibrit orbitalindeki elektron çiftini metale vererek karbon tarafından metale bağlanır.

Metal karbonillerde metal-karbon bağlı  $\sigma$  ve  $\pi$ -bağlarının kombinasyonu olarak bilinir(37). Karbonun bağ yapmamış hibrit orbitalinin metalin boş d orbitali ile örtüşmesinden  $\sigma$ -bağı (Şekil. II.1.2a), karbon monoksidin  $\pi$  moleküler orbitalinin metalin dolu d<sub>π</sub> hibrit orbitali ile örtüşmesinden  $\pi$ -bağı oluşur (Şekil. II.1.2b).



Şekil. II.1.2 Metal karbonil bağlanması a)  $\sigma$ -bağının oluşumu, b)  $\pi$ -bağının oluşumu ( $\pi$ -geri bağlanma).

$\sigma$ - ve  $\pi$ -bağları birbirini tamamlarlar. Karbonil  $\sigma$ -bağı ile metale, metal ise  $\pi$ -bağı yoluyla karbonil grubuna elektron verir. Metal elektronlarının  $\pi$ -bağı yoluyla karbonil orbitaline akması, karbonil grubunu negatifleştirerek bazlığını artırmaktadır. Öte yandan elektronların  $\sigma$ -bağı boyunca metal orbitaline akması ise karbonilin negatifliğini azaltacaktır.

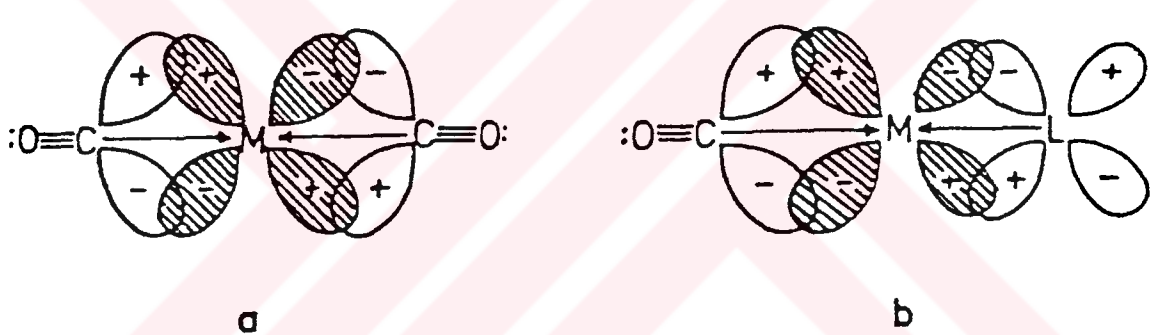
Metal  $\pi$ -bağı yoluyla karbon atomuna elektron vererek karbonun  $\sigma$ -bağı yapma eğilimini artırırken, karbonda  $\sigma$ -bağı yoluyla metale elektron vererek metalin  $\pi$ -bağı yapma eğilimini artırmaktadır. Bu iki tip bağlanmanın arasındaki birlikte ilişkiler veya bu iki yünlü kuvvetin net etkisi çizelge-II.1.1 de görüldüğü gibi C-O gerilme frekansını ve C-O bağ uzunluğunu değiştirir.

Çizelge-II.l.1. Cr(CO)<sub>6</sub> ile Serbest Karbonil Molekülündeki C-O Bağ Uzunluğu ve C-O Gerilme Frekansının Karşılıklılaştırılması(38,39).

<u>Bileşik</u>	<u>Bağ Uzunluğu(pm)</u>			<u>Gerilme Frekansı(cm<sup>-1</sup>)</u>
	<u>M-C</u>	<u>C-O</u>	<u>C-O</u>	<u>M-C</u>
C=O	-	113	2143	-
Cr(CO) <sub>6</sub>	192±4	165±5	2000	441

Geri bağlanmaya etki eden önemli faktörlerden birisi, metal karboniller üzerindeki yük veya metalin yükseltgenme basamağıdır. Düşük yükseltgenme basamağındaki metal π-bağı yoluyla karbon monokside daha fazla elektron yoğunluğu sağlar. Böylece metal karbon bağı kuvvetlenir ve kısalır. Bu etkinin sonucu olarak, karbon-oksijen bağı zayıflar ve uzar. Bunun sonucu olarak karbonil grubunun gerilme frekansı düşer. Aşağıdaki izoelektronik gruptarda merkezi iyon veya atom üzerinde elektron yoğunluğunun artması ile π-geri bağlanmanın arttığı gözlemlenmiştir. Karbonil gerilme frekansı Mo(CO)<sub>6</sub><sup>+</sup>, Cr(CO)<sub>6</sub> ve V(CO)<sub>6</sub><sup>3+</sup> için sırasıyla 2090 cm<sup>-1</sup>, 2000 cm<sup>-1</sup> ve 1890 cm<sup>-1</sup> olarak gözlemlenmiştir(40). Farklı bir ligand ile karbonil grubunun yer değiştirmesi, komplekste geriye kalan karbonil grublarının karbon-oksijen ve metal-karbon bağıının bağ derecesini etkiler. Bunun sonucu olarak karbonil gerilme frekansında da değişimler olur. Karbonil ile trans konumda bağ yapan ligand, metalin d-orbitalı

için karbonil ile rekabete girer. Eğer bu ligand, karbonil grubundan daha az  $\pi$ -bağı ve daha fazla  $\sigma$ -bağı yapma özelliğine sahip ise, karbonil grubunun gerilme frekansı düşer.  $\pi$ -bağı kabül etme ve  $\sigma$ -bağı verme özelliğine sahip trans ligandlar, karbon-oksijen gerilme frekansında ters bir etki yaratacaktır. Karbonil gerilme frekansında trans ligandların rekabet etkisi Şekil.II.1.3 de görülmektedir(41).



Şekil.II.1.3 Karbonil grubu ile cis ve trans konumda bulunan zayıf  $\pi$ -bağı vericisi ligandların metalin d orbitali ile örtüşmesi a) karbonil L ile cis konumda, b) karbonil L ile trans konumda.

## II.2. Metal Olefin Bağlanması

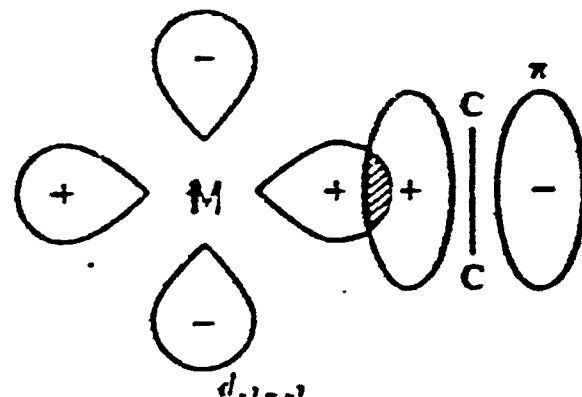
Etilen geçiş metal kompleksinin x- ışınları difraksiyonu çalışmaları, metal olefin bağ ekseninin, etilen molekülünün düzleme dik olduğunu göstermiş-

tir(42).

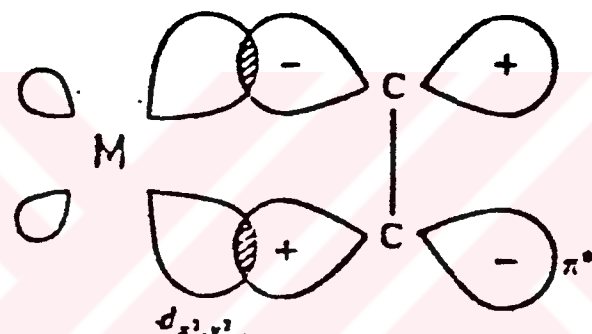
Metal olefin bağlanması, Dewars-Chatt-Duncanson'un moleküler orbital yaklaşım ile açıklanmıştır(43). Metal olefin bağlanmasında  $\sigma$ -bağı, metalin boş d orbitali ile olefinin dolu  $\pi$ -orbitalinin örtüşmesinden,  $\pi$ -bağı ise metalin dolu d orbitali ile olefinin  $\pi$  orbitalinin örtüşmesinden oluşmaktadır(şekil.II.1.1). Şekil.II.1.1c de olefinin  $\pi$ -bağ orbitalinden metale elektronların verilmesi ve karşı bağ orbitalleri ile geri bağ yapması, olefinde karbon-karbon bağının zayıflamasına yol açar. Bu nedenle geçiş elementleri ile koordine olmuş olefinlerde C=C gerilme frekansında 60 ile 150  $\text{cm}^{-1}$  lik bir düşüş olur. Zeises tuzunda C=C gerilme frekansı 1511  $\text{cm}^{-1}$  dir. Oysa serbest etilendeki C=C gerilme frekansı 1623  $\text{cm}^{-1}$  dir. Ayrıca kompleksdeki diğer ligandların elektron verme eğilimleri, metal olefin bağ derecesini etkiler. Bu etki komplekslerin infrared spektrumlarında gözlenmiştir(44).

### II. 3. Metal Dien Bağlanması

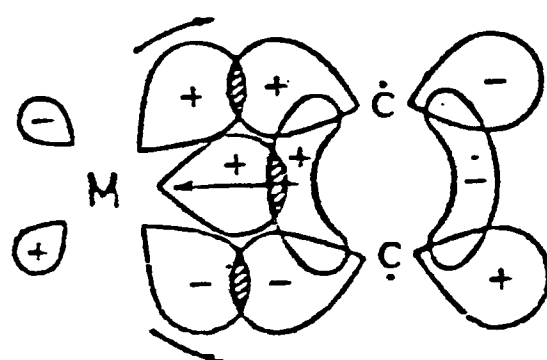
Metal dien bağı, metal olefin bağına benzer. Dien iki ayrı monoolefin ligand gibi metale bağlanır. Butadien molekülünde iki çift bağın bir metal atomuna koordine olması, bunun en bariz örneğidir. Metal atomu, dört karbon atomuna eş uzaklıktadır(şekil. II.3.1). Trikarbonil( $\eta^4$ -1,3-butadien)demir(0) kompleksinin x-1-sınıları analizinden butadien ligandındaki karbon atomlarının aynı düzlemede olduğu bulunmuştur(42,43).



(a)

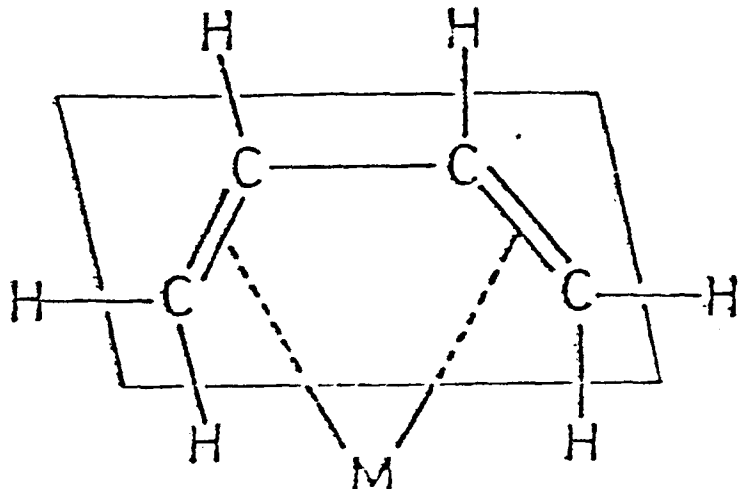


(b)



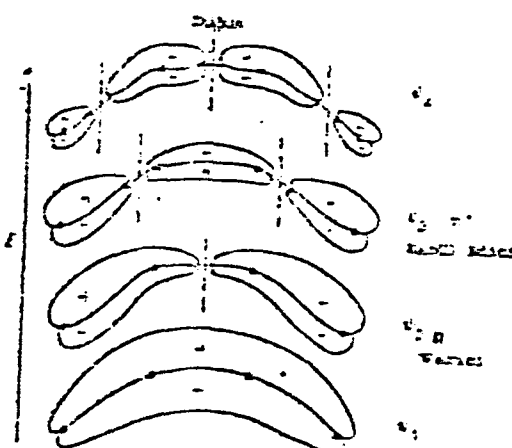
(c)

Şekil. II.2.1 Metal olefin bağlanması a)  $\sigma$ -bağı, b)  $\pi$ -bağı, c)  $\sigma$  ve  $\pi$ -bağının birlikte etkisi.



Şekil.II.3.1 Metal- $\eta^4$ -1,3-butadien bağlanması.

Konjuge hidrokarbonlarda, karbon atomları ve karbon hidrojen atomları arasında C-bağı oluştuktan sonra, herbir karbon atomunda hibritleşmemiş bir tane 2pz orbitali kalır. Karbon üzerinde hibritleşmemiş 2pz orbitali diğer karbon üzerinde hibritleşmemiş 2pz orbitali ile örtüşerek  $\pi$  moleküler orbitali oluştururlar. 1,3-butadiende pz orbitallerinin örtüşmesi ile oluşan  $\pi$  moleküler orbitaller şekil.II.3.2 de verilmiştir.



Şekil.II.3.2 Butadien  $\pi$  moleküler orbitalleri.

Konjuge sistemlerin koordine olması durumunda C=C çift bağındaki gerilme frekansı düşecektir. Çizelge-II. 1 de görüldüğü gibi, dienin C=C gerilme frekansının düşmesi, konjuge sistemlerin koordinasyonu ile açıklanmıştır.

VIB grubu metallerin karbonil dien kompleksleri, oktaedral yapı gösterirler. Diğer yapılarla kıyaslanıldığında oktaedral yapının daha düşük enerjiye sahip olduğu gözlenmiştir(47,48).

Çizelge- II.3.1. 1,3- Butadien ve Onun Metal  
π-Komplekslerinin C=C Gerilme

Frekansları(49).

<u>Bileşik</u>	<u>C=C(<math>\text{cm}^{-1}</math>)</u>
1,3-Butadien( $\text{C}_4\text{H}_6$ )	1597
$\text{K}_2\text{Pt}(\text{C}_4\text{H}_6)\text{Cl}_3$	1473
$(\text{C}_5\text{H}_5)\text{Mn}(\text{C}_4\text{H}_6)(\text{CO})$	1466
$(\text{C}_4\text{H}_6)\text{Fe}(\text{CO})_3$	1464
$(\text{C}_4\text{H}_6)\text{Co}(\text{CO})_2$	1430

III- METAL KARBONILLER VE INFRARED SPEKTRUMLARI

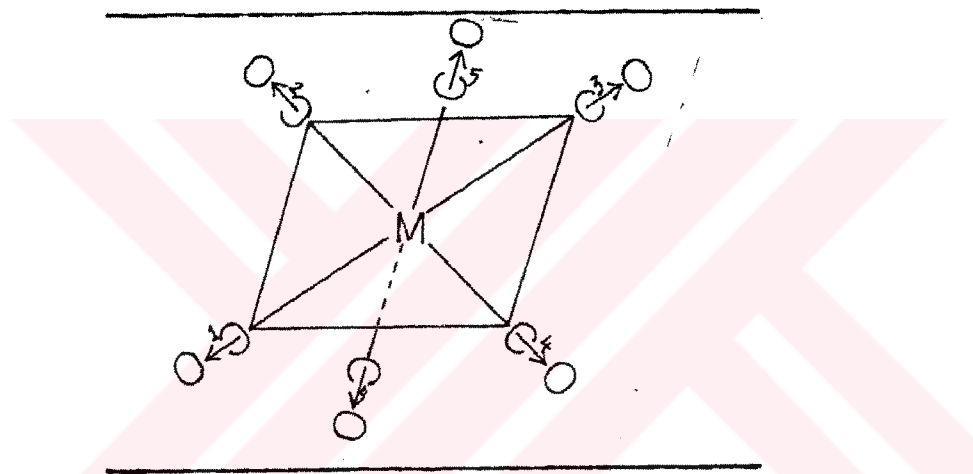
Infrared spektrumlarında gözlenen CO- gerilme bandı frekansları, moleküler yapı ve bağlanma hakkında önemli bilgiler vermektedir. Üç karbonillerin titreşim frekansları genellikle  $2140$  ve  $1890 \text{ cm}^{-1}$  arasında de-

ışırken, köprülü karbonil ligandlarının frekansları daha düşüktür(50). İki metali köprüleyen karbonil grubu için gerilme frekansı  $1800-1700\text{ cm}^{-1}$  arasındadır. Üç metali köprüleyen karbonillerin gerilme frekansı ise  $1620\text{ cm}^{-1}$ 'e kadar düşer(50).

Son yıllarda çeşitli fiziksel ve kimyasal problemlerin çözümünde simetri, oldukça yaygın bir şekilde kullanılmaktadır(51,52,53). Özellikle ultraviyole-görünür bölge, infrared ve Raman spektroskopilerinde seçim kurallarının türetilmesinde simetriden yararlanılmaktadır(54,55).

Herhangi bir molekülün infrared spektrumunun simetriden yararlanarak çözümlenmesi, molekülün tüm titreşim hareketlerinin simetri türlerini saptamayı gerektirir(56). Genel olarak N atomlu çizgisel bir molekül  $3N-5$ , çizgisel olmayan bir molekül ise  $3N-6$  temel titreşim hareketlerine sahiptir. Molekülde atom sayısı arttıkça, molekülün temel titreşimlerinin simetri türlerini saptamak için yapılacak matematiksel işlemlerin sayısında artacaktır. Bununla birlikte molekülde sadece belirli grupların bağ gerilme titreşimlerinin infrared spektroskopisinde gözlenen band sayıları incelenerek molekülün yapısı hakkında önemli bilgiler edinmek mümkündür(57,58,59,60). Bunun için önce bağ gerilme titreşimlerini simgeleyen bir vektörel gösterim temel alınır(Şekil.III.1). Daha sonra bu vektörel gösterimin simetri işlemeye göre kendini takımlaması (+1), tam

tersi durumuna geçmesi (-1) ve yer değiştirmesi (0) ile karakterize edilerek indirgenebilir gösterim elde edilir. Indirgenebilir gösterim bulunduktan sonra karekter tabloları ve aşağıdaki eşitlik kullanılarak, karbonil grubunun bağ gerilme titreşimlerinin simetri türleri ve infrared aktif karbonil gerilme bantlarının sayısı bulunur.



Şekil. III.1  $M(OCO)_6$  Bileşigideki karbonil bağ gerilme titreşimlerinin vektörel gösterimi.

$$n(\lambda) = \frac{1}{h} \sum_{(so)} q_{(so)} x_I^{(so)} x_R^{(so)}$$

$n(\lambda)$ : İndirgenebilir gösterim içindeki indirgenemez gösterim sayısı.

$h$ : Simetri noktası grubunun derecesi (gruptaki simetri işlemlerinin toplam sayısı).

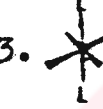
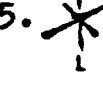
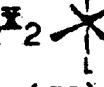
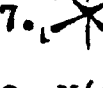
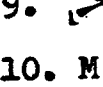
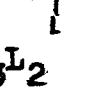
$x_I$ : İndirgenemez gösterimdeki (so) simetri işleminin karakteri.

$x_R$ : İndirgenebilir gösterimdeki (so) simetri iş-

İşeminin karekteri.

$\epsilon_{(so)}$ : (so) simetri işleminin ait olduğu sınıfın katsayısi (karakter tablosunda her bir simetri işleminin önündeki sayı).

Çizelge-III.1 Bazı Metal Karbonil Komplekslerinin Infrared Aktif Karbonil Gerilme Band-  
larının Simetri Türü ve Sayısı.

Moleküler Yapı	Simetri Nokta Grubu	CO-Gerilme Band Sayı- si	Simetri Türü
1.  $M(CO)_5L$	$C_{4v}$	3	$2a_1 + e$
2. cis- $M(CO)_4L_2$ 	$C_{2v}$	4	$2a_1 + b_1 + b_2$
3.  trans- $M(CO)_4L_2$	$D_{4h}$	1	$e_u$
4. cis- $M(CO)_3L_3$ 	$C_{3v}$	2	$a_1 + e$
5.  trans- $M(CO)_3L_3$	$C_{2v}$	3	$2a_1 + b_2$
6. cis- $M(CO)_2L_2X_2$ 	$C_{2v}$	2	$a_1 + b_2$
7.  trans- $M(CO)_2L_2X_2$	$D_{2h}$	1	$b_{1u}$
8. $M(CO)_4L$ 	$C_{3v}$	3	$2a_1 + e$
9.  $M(CO)_4L$	$C_{2v}$	4	$2a_1 + b_1 + b_2$
10. $M(CO)_3L_2$ 	$D_{3h}$	1	$e'$
11.  $M(CO)_3L_2$	$C_s$	3	$2a + a''$

## IV- DENEYSEL KISIM

### IV.1. Temel Teknikler

Organometalik bileşiklerin bir çoğu termodinamik olarak kararsız bileşiklerdir. Organometalik bileşiklerin oksijen ve suya karşı duyarlı olduklarından tüm reaksiyonlar vakumda veya azot atmosferinde gerçekleşmelidir. Organometalik kompleksler, sıcaklık yükselmeye karşı duyarlı olduklarından, yüksek sıcaklıklarda sentezlerinin yapılmaması gerekmektedir. Genellikle reaksiyonlar oda sıcaklığında yapılmalıdır. Bu nedenle tüm reaksiyonlar sürekli inert azot atmosferinde yapılmıştır.

### IV.2. Ligandların Saflaştırılması

#### IV.2.1 Asetonotrilin Saflaştırılması

250 ml lik bir balona 20 ml asetonitril alarak çok az miktarda  $P_2O_5$  ilave edildi. Geri soğutucu altında bir saat kaynatıldı. Daha sonra destile edildi. Destile edilen asetonitril inert azot atmosferinde saklandı.

#### IV.2.2. İzoprenin Saflaştırılması

100 ml lik bir balona 10 ml izopren alarak 0.5gr.  $CaCl_2$  ilave edildi. Geri soğutucu altında 2 saat kaynatıldıktan sonra destile edildi. Destile edilen izopren inert azot atmosferinde saklandı.

#### IV.2.3. Asetik Asidin Saflaştırılması

Galisiyel asetik asit için bir saflaştırma işle-

mi yapılmadı. Satınalındığı hali ile kullanıldı.

#### IV.2.4. n- Hekzanın Saflaştırılması

250 ml lik bir balona 150 ml n-hekzan alınarak içeresine birkaç parça metalik sodyum kondu. Bir süre çalkalandıktan sonra metalik sodyum parçaları n-hekzan- dan alındı. n-hekzan destile edilerek saflaştırıldı. Destile edilen n-hekzan inert azot atmosferinde saklandı.

#### IV.3.1. $\text{Mo}(\text{CO})_5(\text{NCCH}_3)$ ve cis- $\text{Mo}(\text{CO})_4(\text{NCCH}_3)_2$ Bileşiklerinin Sentezi

Sürekli inert azot atmosferi altında yapılan deneyde, 100 mg molibdenhekzakarbonil, 15 ml n-hekzan içinde çözüldü. 1.42 ml asetonitril, çözeltiye ilave edilerek  $\text{C}_9\text{H}_7\text{NO}_2$  UV lambası ile ışınlandı. Işınlamaya başladıkta kısır süre sonra renksiz çözelti, sarı renge dönüştü. Işınlama üç büyük saat sürdü. Oluşan ürün,  $40^\circ\text{C}$  de vakum etüve alınarak bir gece bekletildi. Böylece reaksiyona girmeyen molibdenhekzakarbonil sublime edildi ve n-hekzan ortamdan uzaklaştırıldı. Elde edilen sarı kristaller, beş kez n-hekzan ile yıkandı. Tekrar vakum etüve alınark kurutuldu. Oluşan ürünlerin yapılarını belirlemek amacıyla, elementel analizleri Perkin Elmer 240C model elementel analiz cihazı ile İnfra-red sipektrumları ise EBr içerisinde Perkin Elmer 983 marka infrared spektrofotometresi ile alındı.

#### IV.3.2. $\text{cis-Mo}(\text{CO})_2(\text{izopren})_2$ Kompleksinin Sentezi

Inert azot atmosferinde yapılan deneyde, 100 mg. molibdenhekzakarbonil 15 ml n-hekzan içinde çözüldü, 2,75 ml izopren çözeltide ilave edilerek O S R A M Hg UV lambası ile ışınlandı. Işınlanmanın başlaması ile renksiz çözelti hemen sarıya dönüştü. Üç büyük saat ışınlandı. Işınlama süresi boyunca sarı renk kaybolarak rak maviye dönüştü. Oluşan bileşik 40 °C de Vakum Etüve alınarak bir gece bekletilip tepkimeye girmeyen molibdenhekzakarbonil sublime edildi ve n-hekzan ortamdan uzaklaştırıldı. Elde edilen ürün n-hekzan ile beş kez yıkandı ve saflaştırıldı. Bileşik tekrar vakum etüve alınarak kurutuldu ve mavi kristaller elde edildi. Oluşan ürünün yapısını aydınlatmak amacıyla, elementel analizi Perkin Elmer 240C model elementel analiz cihazı ile yapıldı. Infrared spektrumu ise KBr de Perkin Elmer 983 marka infrared spektrofotometresi ile alındı.

#### IV.3.3. $\text{Mo}_2(\text{CH}_3\text{COO})_4$ Kompleksinin Sentezi

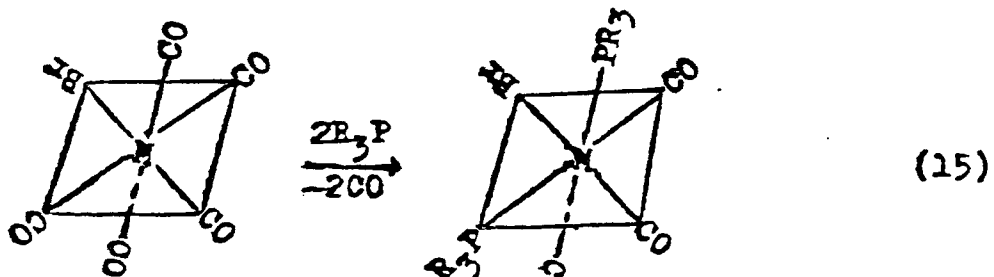
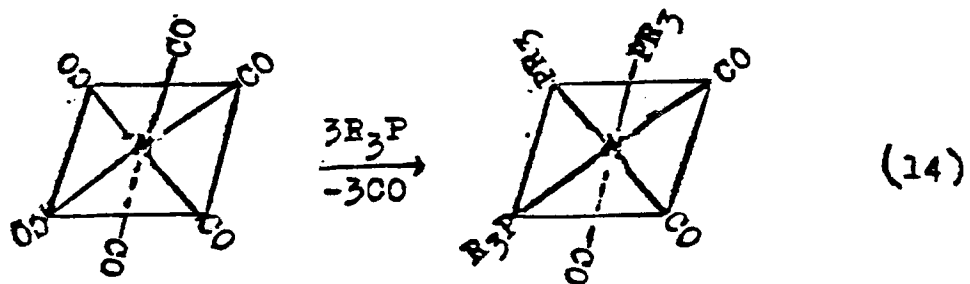
Sürekli azot atmosferi altında yapılan deneyde, 100 mg molibdenhekzakarbonil, 15 ml n-hekzan içerisinde çözüldü. 1.58 ml asetik asit, çözeltije ilave edilerek O S R A M Hg UV lambası ile ışınlandı. Işınlanmanın başlaması ile renksiz çözelti, sarıya dönüştü. Üç büyük saat ışınlamaya devam edildi. Işınlamadan sonra çözeltide, sarı kristaller oluştu. Oluşan ürün 40 °C de vakum etüve alınarak bir gece bekletildi. Böylece reak-

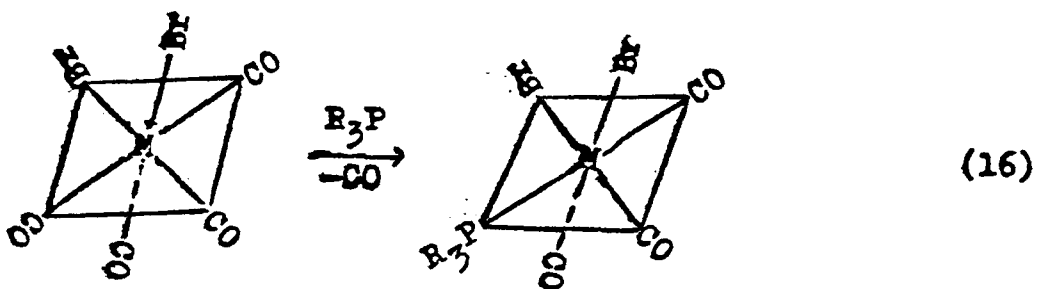
siyona girmeyen molibdenhekzakarbonil sublime edildi ve n-hekzan ortamdan uzaklaştırıldı. Klde edilen sarı kristaller n-hekzan ile beş kez yıkandıktan sonra saflaştırıldı. Ürün tekrar vakum etüve alınarak kurutuldu. Oluşan kompleksin yapısını belirlemek amacıyla elementel analizi; Perkin Elmer 240 C model elementel analiz cihazı ile yapıldı. Infrared spektrumu ise KBr de Perkin Elmer 983 marka infrared spektrofotometresi ile alındı.

#### V- BULGULAR VE TARTIŞMA

##### V.1. Molibden Karbonil Asetonitril Türevleri

VIB Grubu metal karbonillerin, karbonilden daha zayıf bir M-bağ vericisi olan tek dişli ligandlarla yer değiştirme reaksiyonlarında, üç ligandan daha fazlasının karbonil ile yer değiştiremeyeceği bilinmektedir(17,62). VIB Grubu metal karboniller ve bu metal karbonillerin halojenli türevlerinin, trimetilfosfin ile yerdeğiştirme reaksiyonları, buna örnek verilebilir(17).

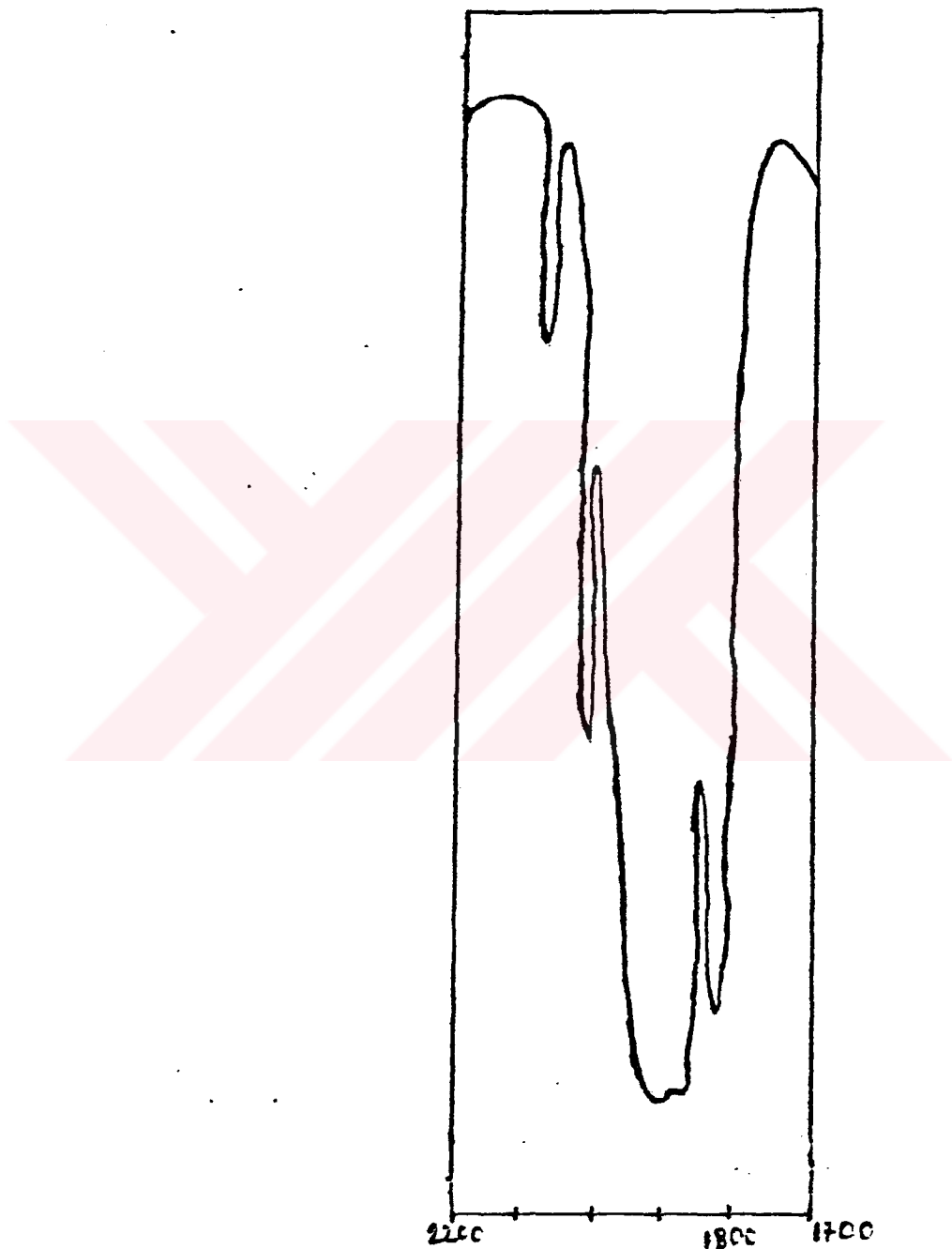




VIB Grubu metal karbonillerde, zayıf bir  $\pi$ -bağ vericisi ligand, karbonil ile yer değiştirdiğinde, kendisi ile trans konumda bulunan karbonilin geri bağ yapmasını artırır ve metal-karbon bağını huvetlendirir. İkinci bir ligandin karbonil ile yer değiştirmesinde, ilk yer değiştiren liganda trans konumdaki karbonille yer değiştirmesi, cis konumdaki karbonille yer değiştirmesinden daha zordur. Eğer büyük bir sterik engel yoksa yerdeğiştirme, cis konumdaki karbonil ile olacaktır. Üçüncü ligand da aynı nedenlerden ötürü, cis konumdaki karbonil ile yerdeğiştirecektir. Oktahedral yapıdaki metal karbonillerde, üç tane zayıf  $\pi$ -bağ vericisi ligand karbonil ile cis konumda yerdeğiştirdiğinde, yapıda bu ligandlarla trans konumda üç tane karbonil kalaçaktır. Bu karboniller, metal ile daha fazla geri bağlanma yaptıklarından, ligandlarla yerdeğiştirmeleri zorlaşacaktır. Bu nedenle normal reaksiyon koşullarında oktaedral yapıdaki metal karbonillerde, üçten fazla karbonilin zayıf  $\pi$ -bağ vericisi ligandlarla yerdeğiştirmesi beklenmez.

Yukarıdaki tartışmanın ışığı altında molibdenheksakarbonil ile asetonitrilin yerdeğiştirme reaksiyo-

nunda,  $\text{Mo}(\text{CO})_5(\text{NCCH}_3)$ , cis -  $\text{Mo}(\text{CO})_4(\text{NCCH}_3)_2$  ve  
cis- $\text{Mo}(\text{CO})_3(\text{NCCH}_3)_3$  bileşiklerinin oluşması beklenir.



Şekil.V.1. Molibden karbonil asetonitril türevlerinin infrared spektrumu.

Şekil.V.1. de görüldüğü gibi, sentezlenen maddenin infrared spektrumunun metal karbonil gerilme frekansı bölgesinde,  $2080\text{ cm}^{-1}$ ,  $2020\text{ cm}^{-1}$ ,  $1920\text{ cm}^{-1}$ ,  $1875\text{ cm}^{-1}$  ve  $1830\text{ cm}^{-1}$  frekanslarında beşane karbonil gerilme bandı bulunmaktadır.

Oluşumu beklenen bu üç ürünün infrared-aktif karbonil gerilme bandlarının simetri türleri ve sayıları Çizelge-V.1. de verilmiştir(61).

Çizelge-V.1.  $\text{Mo}(\text{CO})_5(\text{NCCH}_3)_3$ , cis- $\text{Mo}(\text{CO})_4(\text{NCCH}_3)_2$  ve cis- $\text{Mo}(\text{CO})_3(\text{NCCH}_3)_3$  Bileşiklerinin infrared- Aktif Karbonil Gerilme Band- larının Simetri Türleri ve Sayısı.

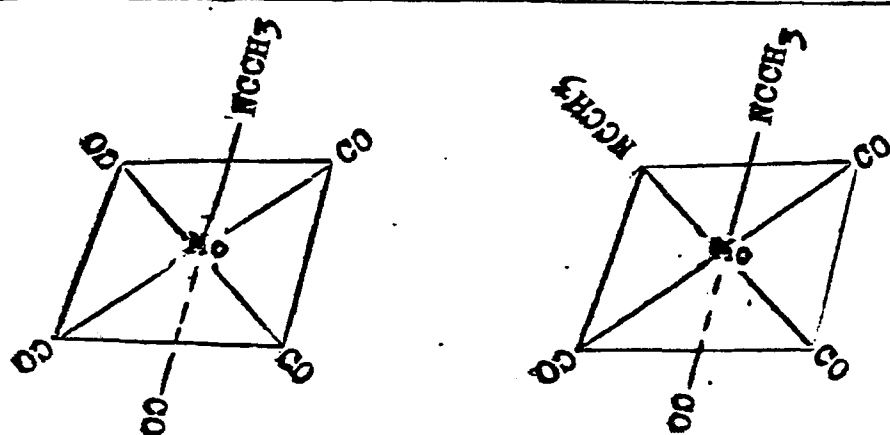
Moleküller	Simetri Nokta Grubu	CO-Gerilme Band Sayısı	Simetri Türü
$\text{Mo}(\text{CO})_5(\text{NCCH}_3)_3$	$\text{C}_{4v}$	3	$2a_1 - e$
cis- $\text{Mo}(\text{CO})_4(\text{NCCH}_3)_2$	$\text{C}_{2v}$	4	$2a_1 + b_1 + b_2$
cis- $\text{Mo}(\text{CO})_3(\text{NCCH}_3)_3$	$\text{C}_{3v}$	2	$a_1 + e$

Çizelge- V.1. de görüldüğü gibi,  $\text{Mo}(\text{CO})_5(\text{NCCH}_3)_3$  cis- $\text{Mo}(\text{CO})_4(\text{NCCH}_3)_2$  ve cis- $\text{Mo}(\text{CO})_3(\text{NCCH}_3)_3$  bileşiklerinin sırasıyla üç, dört ve iki tane infrared-aktif karbonil gerilme bandı vermesi beklenir.

Infrared spektrumunda, bu ürünlerin bir karışım olarak elde edildiği görülmektedir.  $\text{W}(\text{CO})_5(\text{NCCH}_3)$  bileşigi  $2085\text{ cm}^{-1}$ ,  $1948\text{ cm}^{-1}$  ve  $1931\text{ cm}^{-1}$  frekansında üç,

cis-Mo(CO)<sub>4</sub>(NCCH<sub>3</sub>)<sub>2</sub>, 2023 cm<sup>-1</sup>, 1912 cm<sup>-1</sup>, 1881 cm<sup>-1</sup> ve 1833 cm<sup>-1</sup> frekansında dört ve cis-W(CO)<sub>3</sub>(NCCH<sub>3</sub>)<sub>3</sub> bileşigide 1913 cm<sup>-1</sup> ve 1790 cm<sup>-1</sup> frekansında iki karbonil gerilme bandı vermektedirler(63,64).

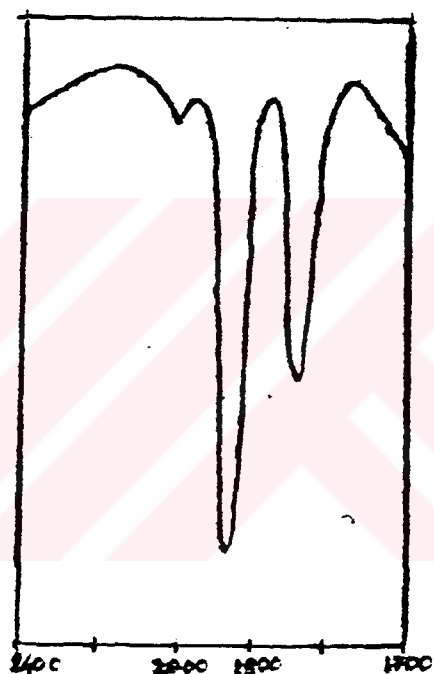
Sentezlenen maddenin infrared spektrumunda bandlarının çok yayvan oluşu, aslında var olan fakat yayvan bandları içerisinde kalarak gözlenemeyen bandların varolabileceği fikrini vermektedir. 2080 cm<sup>-1</sup> ve 1920 cm<sup>-1</sup> frekansındaki bandlar, Mo(CO)<sub>5</sub>(NCCH<sub>3</sub>) bileşığının, 2020 cm<sup>-1</sup>, 1875 cm<sup>-1</sup> ve 1830 cm<sup>-1</sup> frekansındaki bandlarda cis-Mo(CO)<sub>4</sub>(NCCH<sub>3</sub>)<sub>2</sub> bileşığının karbonil gerilme bandlarıdır. Infrared spektrumunda, 1800 cm<sup>-1</sup> den daha düşük frekansta bir bandın gözlenmemesi, ürün karışımında cis-Mo(CO)<sub>3</sub>(NCCH<sub>3</sub>)<sub>3</sub> bileşığının olmadığını göstermektedir. Zira cis-W(CO)<sub>3</sub>(NCCH<sub>3</sub>)<sub>3</sub> bileşığının 1790 cm<sup>-1</sup> frekansında karbonil gerilme bandına sahip olduğu bilinmektedir(63).



Şekil. V.1.2. Mo(CO)<sub>5</sub>(NCCH<sub>3</sub>)<sub>3</sub> ve cis-Mo(CO)<sub>4</sub>(NCCH<sub>3</sub>)<sub>2</sub> bileşiklerinin geometrik yapıları.

Sonuç olarak molibdenhekzakarbonil ile asetonitrilin fotokimyasal reaksiyonundan,  $\text{Mo}(\text{CO})_5(\text{NCCH}_3)$  ve cis- $\text{Mo}(\text{CO})_4(\text{NCCH}_3)_2$  bileşiklerinden ibaret bir ürün karışımı elde edildiği söyleyebilir. Sentezlenen bu maddelerin yapıları şekil.V.1.2.de verilmiştir.

#### Ş.2. cis- $\text{Mo}(\text{CO})_2(\text{izopren})_2$ Kompleksi



Şekil.V.2.1. cis- $\text{Mo}(\text{CO})_2(\text{izopren})_2$  bileşiginin infrared spektrumu.

Şekil.V.2.1 de görüldüğü gibi  $\text{Mo}(\text{CO})_6$  ile izoprenin fotokimyasal reaksiyonundan elde edilen bileşigin infrared sipektrumunda, 1930 ve 1840  $\text{cm}^{-1}$  de iki tane CO-gerilme bandı gözlenmiştir. Bu, oluşan bileşigin cis- $\text{Mo}(\text{CO})_2(\text{izopren})_2$  olduğu fikrini vermektedir. Çünkü VIB grubu metal karbonillerin çift dişli ligandlarla reaksiyonundan oluşan ürünün, infrared spektrumunda

iki tane karbonil gerilme bandının gözlenmiş olması karbonillerin yapıda, cis konumda olduğunu göstermektedir(62).

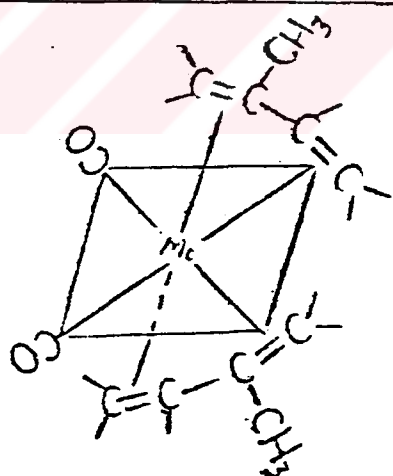
VIB Grubu metal karbonillerin, iki dişli ligandlarla oluşturdukları komplekslerin stereokimyası oldukça ilginçtir. Metal karbonillerin ışınlanması ile, oldukça reaktif olan kare pramidal yapıdaki  $M(CO)_5$  oluşur. Ortamda bulunan iki dişli ligand, bu ara ürüne önce tek dişli olarak bağlanır(65). Bağlanan grub genellikle karbonilden daha zayıf bir  $\pi$ -bağ vericisi olduğundan, kenarları ile trans konumdaki karbonilin metale bağlanması kuvvetlendirir. cis konumdaki karbonillerinde reaktivitelerini artırır. İkinci bir iki dişli ligand, cis konumdaki karbonillerden biri ile yer değiştirir. Üçüncü bir ligandın şelat etki nedeni ile yapıya girmesi beklenemez(62). Bunun sonucu olarak çift dişli ligandlarından biri, ikinci  $\pi$ -bağından metale koordine olurken, cis konumdaki karbonil ile yer değiştirir. Yapıya tek dişli olarak bağlanan ikinci çift dişli ligand, ikinci  $\pi$ -bağından metale bağlanırken, zorunlu olarak trans konumdaki karbonil ile yer değiştirecektir. Çift dişli ligandlar, metale bu şekilde bağlandığında, yapıda cis konumda iki karbonil kalacaktır.

#### Cizelge-V.2.1. Elementel Analiz Verileri

<u>Element</u>	<u>Hesaplanan</u>	<u>Bulunan</u>
% C	50.01	49.28
% H	5.59	5.66

Sentezlenen bileşliğin  $\text{cis-Mo}(\text{CO})_2(\text{izopren})_2$  olduğu varsayımdan yapılan hesaplama ile, elementel analiz sonucunda bulunan değerler, çizelge-V.2.1. de görüldüğü gibi uyum içindedir. Gerek elementel analiz sonuçları, gerekse infrared spektrumu verileri oluşan bileşliğin,  $\text{cis-Mo}(\text{CO})_2(\text{izopren})_2$  olduğunu göstermektedir.

Bileşliğin moleküller yapısı şekil.V.2.2. de verilmiştir. Moleküller yapının çiziminde, metil grubunun elektron vericisi olması nedeni ile metale ilk bağlanmanın, metil grubuna yakın çift bağ üzerinden olduğu düşünülmüştür.



Şekil. V.2.2.  $\text{cis-Mo}(\text{CO})_2(\text{izopren})_2$  nin yapısı.

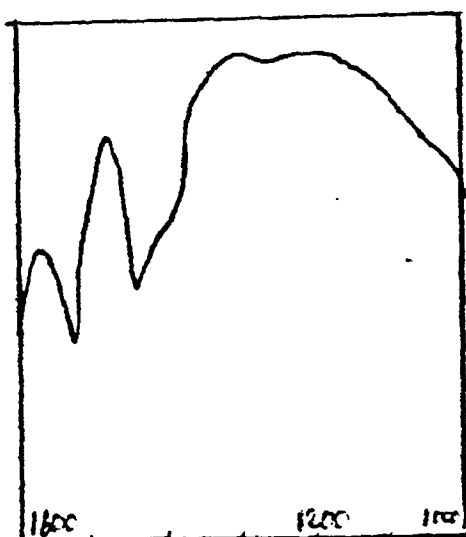
### V.3. $\text{Mo}_2(\text{CH}_3\text{COO})_4$ Kompleksi

$\text{Mo}_2(\text{CH}_3\text{COO})_4$  bileşığının elementel analiz sonuçları, çizelge-V.3.1. de verilmektedir.

Çizelge- V.3.1.  $\text{Mo}_2(\text{CH}_3\text{COO})_4$  Bileşığının Eleman-tel Analiz Verileri.

<u>Element</u>	<u>Hesaplanan</u>	<u>Bulunan</u>
% C	22.4	19.4
% H	2.8	3.7

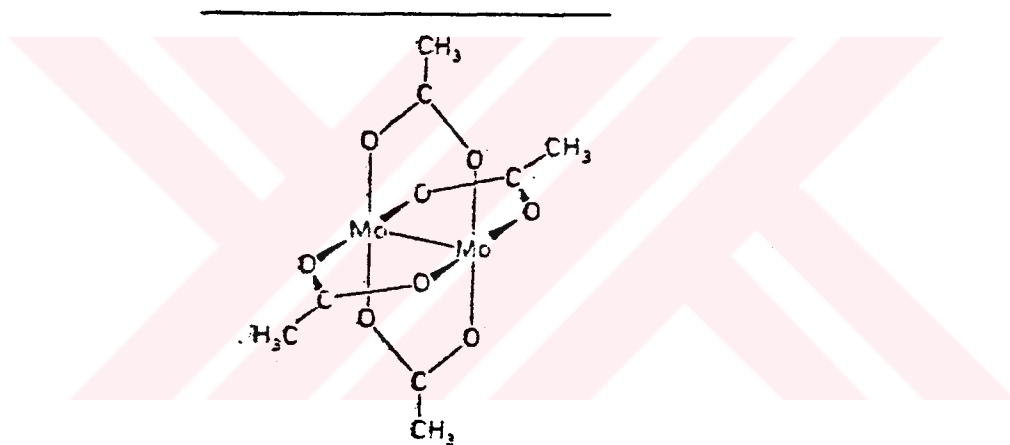
Molibdenhekzakarbonil ile asetik asidin fotokimyasal reaksiyonu sonunda oluşan ürünlerde, karbon ve hidrojen yüzdesleri sırayla 19.4 ve 3.7 olarak bulunmuştur. Literatürde, molibdenhekzakarbonil ile asetik asidin ı-sısal olarak reaksiyona sokulmasından oluşan ürünün,  $\text{Mo}_2(\text{CH}_3\text{COO})_4$  olduğu verilmiştir(66). Bu bulgudan harketle hesaplanan karbon ve hidrojen yüzdeslerinin, bulunan değerlerle uyum içinde olması, fotokimyasal yolada aynı ürünün oluştuğunu göstermektedir. Öte yandan



Sekil.V.3.1.  $\text{Mo}_2(\text{CH}_3\text{COO})_4$  Bileşığının infrared spektrumu.

infrared spektrumunda  $1530 \text{ cm}^{-1}$  ve  $1445 \text{ cm}^{-1}$  frekan-  
sında iki bandın gözlenmesi, bileşiğin  $\text{Mo}_2(\text{CH}_3\text{COO})_4$   
olduğunu doğrulamaktadır. Zira  $\text{COO}^-$  grubunun simetrik  
ve antisimetrik titreşimlerinin bu bölgede iki tane  
band verdiği bilinmektedir(66 ).

İsisal olarak sentezlenen bu bileşik üzerinde ya-  
pılan x-işinları analizinden, molibden-molibden bağı-  
nın üçlü bağ ve bileşiğin yapısının şekil.V.3.2. de gö-  
rülüdüğü gibi olduğu bulunmuştur(67 ).



Şekil.V.3.2.  $\text{Mo}_2(\text{CH}_3\text{COO})_4$  bileşiğinin yapısı.

Sentezlenen bileşiklerde zamanla renk değişiminin  
olduğu gözlenmiştir. Yeniden alınan infrared spektrum-  
larında  $3400 \text{ cm}^{-1}$ ,  $1620 \text{ cm}^{-1}$  ve  $970 \text{ cm}^{-1}$  frekanslarında  
bandlar elde edilmiştir.  $3400 \text{ cm}^{-1}$  ve  $1620 \text{ cm}^{-1}$  de-  
ki bandlar bileşiklerin zamanla nem çektiğini göster-  
metedir(68 ).  $970 \text{ cm}^{-1}$  deki bandın molibden mavisinden  
ileri geldiği bilinmektedir( 67 ). Buna göre bileşikle-  
rin zamanla yapısal bozulmaya uğrayarak molibden ma-  
visine dönüştükleri söylenebilir. Ayrıca elementel a-

nalız sonuçlarında hidrojen oranının beklenen değerden fazla çıkması, bileşiklerin analize hazırlanırken dahi havanın neminden etkilendiklerini göstermektedir.

#### SONUÇ

Bu çalışmada, n-hekzan içerisinde molibdenhekzakarbonil ile asetonitril, izopren ve asetik asid fotokimyasal yolla reaksiyona sokuldu. İnfra red spektroskopisi ve elementel analiz verilerinden yararlanılarak oluşan ürünlerin yapıları önerildi.

Molibdenhekzakarbonilin asetonitril ile fotokimyasal reaksiyonundan  $\text{Mo}(\text{CO})_5(\text{NCCH}_3)$  ve cis- $\text{Mo}(\text{CO})_4(\text{NCCH}_3)_2$  bileşiklerinin karışımı elde edildi.

Molibdenhekzakarbonilin izopren ve asetik asid fotokimyasal reaksiyonlarından ise sırası ile cis- $\text{Mo}(\text{CO})_2(\text{izopren})_2$  ve  $\text{Mo}_2(\text{CH}_3\text{COO})_4$  bileşikleri sentezlendi.

Sentezlenen bu bileşiklerin tümünün zamanla yapısal bozulmalar gösterdiği ve fazla miktarda nem çekme özelliğine sahip oldukları bulundu.

KAYNAKLAR

1. Werner, A.Z. Anorg. Chem. 3, 267, 1893.
2. Zeise, W.C. Ann. Phys (Leipzig). 9, 632, 1827.
3. Zeise, W.C. Pogg. Annalen. 21, 497, 1831.
4. Kealy, T.J. : Pauson, P.L. Nature 168, 1039, 1951.
5. Wilkinson, G.: Rosenblum, M.: Whiting, M.C.: Woodward, R.B. J. Am. Chem. Soc. 74, 2125, 1952.
6. Cookson, R.C.: Fowles, G.W.A.: Jenkins, D.K. J. Chem. Soc. 76, 6406, 1965.
7. Bolah, D.G.: Hughes, A.N. J. Heterocyclic Chem. 15, 1239, 1978.
8. P. Basolo and R.G. Pearson, "Mechanism of Inorganic Reactions, A Study of Metal Complexes in Solution", John Wiley and Sons, Inc., 1967 New York.
9. Mond, L.C.: Langer, C.L.: Quincke, P. J. Chem. Soc. 57, 749, 1890.
10. Quincke, P. Chem. News. 63, 301, 1891.
11. Malatesta, L.: Angeletta, M. J. Chem. Soc. 65, 1186, 1927.
12. Cotton, P.A.: Wilkinson, G. "Advanced Inorganic Chemistry" 3<sup>rd</sup> Edt. New York, 683, 1972.
13. Blanchard, A.A. Chem. Rev. 21, 3, 1937.

14. Bond, L.: Hertz, H.: Cowap, M.D. J.Chem.Soc. 62, 789, 1910.
15. Jop, A.: Cassal, A. Bull. Chem.Soc.France. 41, 1641, 1927.
16. Jop, A.: Bouvillois, J. Compt. Rend. 187, 564, 1928.
17. J.E. Huheey, "Inorganic Chemistry Principle of Structure and reactivity, New York, 1975.
18. Ü. Saik, anorganik lecture note of METU , 1983.
19. Reihlen, H.: Gruhl, A.: Hessling, G.: Pfrengle,O.P. Ann. Chem. 482, 161, 1930.
20. Hallam, B.P.: Pauson, P.L. J. Chem. Soc. 75, 648, 1958.
21. Daublen, H.J.: Bertelli, D.J. J.Am.Chem.Soc. 83, 497, 1961.
22. Piper, T.S.: Cotton, F.A.: Wilkinson, G.J. Inorg.Nucl. Chem. 1, 165, 1955.
23. Bird, C.W.: Cookson, R.C.: Budde. J.Chem.Ind.(London). 20, 1960.
24. Maxwell, T.A.: Stone, F.G.A. Prog.Chem. Soc. 90, 1959.
25. King.,R.B.: J.Am.Chem.Soc.84, 4705, 1962.
26. Cramer, R. J.Am.Chem.Soc. 86, 214, 1964.
- 27.. Cramer, R. J.Am.Chem. Soc. 89, 5377, 1966.
28. Grevels, P.W.: Skibbe, V.J.Chem.Soc.Chem.Commun, 681, 1984.

29. Faller, J.W.: Johnson, B.V. *J.Organometal. Chem.*  
88, 101, 1975.
30. Kreiter, C.G.: Strack, H. *Z.Naturforsch.* 30b, 748, 1975.
31. Herberhold, M.: Alt, A.: Kreiter, C.G. *Liebigs Ann. Chem.* 300, 1976.
32. Kotzian, M.: Kreiter, C.G.: Özkar, S. *J.Organometal. Chem.*  
29, 229, 1982.
33. Preston, R.G.: Davies, J.C. *J.Am.Chem.Soc.* 88, 1583, 1966
34. Kruczynki, L.: Takats, J. *Inorg.Chem.* 15, 3149, 1976.
35. Bennet, M.A.: Pratt, L.: Wilkinson, G. *J.Chem.Soc. Erdogan, A., M.Sc.Thesis* 1983.
36. King, R.B.: Manuel, T.A.: Stone, P.G.A. *J.Inorg.Nucl. Chem.* 233, 1961.
37. Braterman, P.S. *Structure and Bonding* 10, 57, 1972.
38. Albes, S.: Gambino, O.: Milone, L.: Sappa, E.: *Inorganic Chemica Acta*. 15, 53, 1975.
39. Jones, L.H. *Spectrochim. Acta* 19, 329, 1963.
40. Edgell, W.F. *J.Am.Chem.Soc.* 82, 1254, 1960.
41. F. Basolo and R.G. Pearson, "Mechanism of Inorganic Reactions. A study of Metal Complexes in Solution , "  
John Wiley and sons, inc, 1967 New York.

42. Demuynck, J. J.Am.Chem.Soc.100, 2367, 1978.
43. Dewars, M.J.S. Bull. Soc.Chim.France.C79, 1951.
44. Cotton, P.A.: Kraihanzel, C.S. J.Am.Chem.Soc. 84, 4432, 1962.
45. Demirzi, A. J. Organometal. Chem. 76, 65, 1974.
46. Retcofsky, H.L.: Frankel, E.E.: Gutowsky H.S.J.A-
47. Tautsui, M.: Levy, M.N.: Nakamura, A.: Khikava,  
M.: Mori K. "Introduction to Metal Complexes Chem-  
istry" New York, 65, 1976.
48. Hoffman, R. J.Chem.Phys.39, 1397, 1963.
49. Hoffman, R.: Lipscomb, W.N. Ibid 36, 2179, 1962.
50. K.P. Purcell and J.C. Kotz " Inorganic Chemistry"  
Hong Kong. 1977.
51. Cotton, F.A., Chemical Applications of Group Theory,  
Wiley (Interscience), (New York), 1971.
52. Hatfield, W.E. and Parker, W.E., Symmetry in Chemical  
Bonding and Structure, (Ohio), 1974.
53. Lewandos, G.S. and Pettit, R., Tetrahedron Letters,  
789 (1971).

54. Orchin, M. and Jaffe, H.H., *Symmetry, Orbitals and Spectra*, Wiley (Interscience), (New York) , 1971.
55. Woodward, R.B. and Hoffmann, R., *The Conservation of Orbital Symmetry*, Academic Press, (New York) 1970.
56. Drago, R.S., *Physical Methods in Chemistry*, W.B. Saunders Company, (London), 1971.
57. Adams, D.M., *Metal-Ligand and Related Vibrations*, St Martin's Press, (New York), 1968.
58. Daresbourg, M.Y. and Daresbourg, D.J., *J.Chem. Educ.*, 47.33, (1970).
59. Kaesz, H.D., et al., *J.Amer.Chem.Soc.*, 89, 2844, (1967).
60. K.Cemal. Metal Karbonillerin Infrared Spektrularının Kurumsal Çözümlenmesinde Simetrinin Uygulanması.  
V. Ulusal Spektroskopİ Simpozyumu(23-25 Eylül 1985-  
Sivas)
61. K.P. Purcell and J.C. Ketz "Inorganic Chemistry"  
Hong Kong, 1977.
62. I.W. Stoltz, G.R. Dobson, and R.K. Sheline. *Inorganic chem.*, 2, 1264, 1963.
63. G.R. Dobson, M.F. Amr Elsayed, I.W. Stoltz, and R.K. Sheline, *Inorganic chem.* 1, 526, 1962.

64. F.A. Cotton, Inorganic chem, 3, 702, 1963.
65. Özkar S., IV. Kimya ve Kimya Mühendisliği Sempozyumu. 151, 1987.
66. T.A. Stephenson, E. Bannister, and G. Wilkinson, J.Chem Soc., 2538, 1964.
67. F.A. Cotton, W.K. Bratton. Journal of The American Chemical Society, 87:4, 921, 1965.
68. H.W. vander Marel and H.Beutelspacher. Atlas of Infrared Spectroscopy of Clay Minerals and their Admixtures. 31, New York 1976.

A. C.  
Tükseköğretim Kurum  
Bekümantasyon Merkezi